

## ເອກສາຮອ້າງອີງ

- Abrahamsson B., Alpsten M., Bake B., Larsson A., Sjögren J. In vitro and in vivo erosion of two different hydrophilic gel matrix tablets. **Eur. J. Pharm. Biopharm.** 1998; 46: 69-75.
- Adrian C.L., Olin Helle B.D., Dalhoff K., Jacobsen J. In vivo human buccal permeability of nicotine. **Int. J. Pharm.** 2006; 311: 196-202.
- Aguzzi C., Cerezo P., Viseras C., Caramella C. Use of clays as drug delivery systems: Possibilities and limitations. **Appl. Clay Sci.** 2007; 36: 22-36.
- Akbari J., Nokhodchi A., Farid D., Adrangi M., Siah-Shabdar M.R., Saeedi M. Development and evaluation of buccoadhesive propranolol hydrochloride tablet formulations: effect of fillers. **Il Farmaco** 2004; 59: 155-161.
- Alexandre M., Dubois P. Polymer-layered silicate nanocomposites: preparation, properties and uses of a new class of materials. **Mater. Sci. Eng.** 2000; 28: 1-63.
- Alur H.H., Pather S.I., Mitra K. A., Johnston T.P. Transmucosal sustained-delivery of chlorpheniramine maleate in rabbits using a novel, natural mucoadhesive gum as an excipient in buccal tablets. **Int. J. Pharm.** 1999; 188: 1-10.
- Andrews G. P., Laverty T. P., Jones D. S. Mucoadhesive polymeric platforms for controlled drug delivery. **Eur. J. Pharm. Biopharm.** 2009; 71: 505-518.
- Barsuhn C.L., Olanoff L.S., Gleason D.D., Adkins E.L., Ho N.F. Human buccal absorption of flurbiprofen. **Clin. Pharmacol. Ther.** 1988; 44: 225-231.
- Benna M., Kbir-Ariguib N., Magnin A., Bergaya F. Effect of pH on Rheological Properties of Purified Sodium Bentonite Suspensions. **J. Colloid. Interface Sci.** 1999; 218: 442-455.
- Boyapally H., Nukala R.K., Bhujbal P., Douroumis D. Controlled release from directly compressible theophylline buccal tablets. **Colloids Surf. B.** 2010; 77: 227-233.
- Campos-Aldrete M.E., Villafuerte-Robles L. Influence of the viscosity grade and the particle size of HPMC on metronidazole release from matrix tablets. **Eur. J. Pharm. Biopharm.** 1997; 43: 173-178.
- Cao Q.R., Choi Y., Cui J., Lee B. Formulation, release characteristics and bioavailability of novel monolithic hydroxypropylmethylcellulose matrix tablets containing acetaminophen. **J. Control. Release.** 2005; 108: 351-361.
- Chen L.L.H., Chetty D.J., Chien Y.W. A mechanistic analysis to characterize oramucosal permeation properties. **Int. J. Pharm.** 1999; 184: 63-72.

- Cheong L.W.S., Heng P.W.S., Wong L.F. Relationship Between Polymer Viscosity and Drug Release from a Matrix System. **Pharm. Res.** 1992; 9: 1510-1514.
- Conaghey O.M., Corish J., Corrigan O.I. The release of nicotine from a hydrogel containing ion exchange resins. **Int. J. Pharm.** 1998; 170: 215–224.
- Costa P., Lobo J.M.S. Modeling and comparison of dissolution profiles. **Eur. J. Pharm. Biopharm.** 2001; 13: 123-133.
- Draget K.I. Alginate. In: Phillips G.O., Williams P.A., editor. **Handbook of hydrocolloids**. 2<sup>nd</sup> ed. Cambridge: woodhead; 2000.
- Draget K.I., Taylor C. Chemical, physical and biological properties of alginates and their biomedical implications. **Food Hydrocolloids** 2011; 25: 251–256.
- Diaz del Consuelo I., Falson F., Guy R.H., Jacques Y. Ex vivo evaluation of bioadhesive films for buccal delivery of fentanyl. **J. Control. Release.** 2007; 122: 135-140.
- Diaz del Consuelo I., Jacques Y., Pizzolato G., Guy R.H., Falson F. Comparison of the lipid composition of porcine buccal and esophageal permeability barriers. **Arch.Oral Bio.** 2005; 50: 981-987.
- D'Orlando K.J., Fox B.S. Tolerability and pharmacokinetics of single and repeated doses of nicotine with The Straw, a novel nicotine replacement product. **Nicotine Tob. Res.** 2004; 6: 63-70.
- Duchene D., Pnochel G. Bioadhesion of solid oral dosage forms, why and how? **Eur. J. Pharm. Biopharm.** 1997; 44: 15-23.
- Espinoza R., Hong E., Villafuerte L. Influence of admixed citric acid on the release profile of pelanserin hydrochloride from HPMC matrix tablets. **Int. J. Pharm.** 2000; 201: 165-173.
- Golden sections of inter-atomic distances as exact ionic radii of atoms. **Nature Precedings** [serial online]. 2009 [cited 2009 Mar 10]. Available from: <http://hdl.handle.net/10101/npre.2009.2929.1>
- Heng P.W.S., Chan L.W., Easterbrook M.G., Li X. Investigation of the influence of mean HPMC particle size and number of polymer particles on the release of aspirin from swellable hydrophilic matrix tablets. **J. Control. Release.** 2001; 76: 39-49.
- Higuchi T. Mechanism of sustained-action medication. Theoretical analysis of rate of release solid drugs dispersed in solid matrices. **J. Pharm. Sci.** 1963; 52: 1145-1149.
- Holte O., Onsøyen E., Myrvold R., Karlsen J. Sustained release of water-soluble drug from directly compressed alginate tablets. **Eur. J. Pharm. Biopharm.** 2003; 20: 403-407.
- Ikinci G., Wilson C.G., Sumnu M. Development of a buccal bioadhesive nicotine tablet formulation for smoking cessation. **Int. J. Pharm.** 2004; 277: 173-178.
- Jovanovic M., Jovićic G., Curic Z., Agbaba D., Karljikovic-rajic K., Radovanovic J., Nikolic L. Effect of fillers and lubricants on acetylsalicylic acid release kinetics from eudragit matrix tablets. **Drug Dev. Ind. Pharm.** 1997; 23: 595-602.

Karasulu H.Y., Sanal Z.E., Sözer S., Güneri T., Ertan G. Permeation studies of indomethacin from different emulsions for nasal delivery and their possible anti-inflammatory effects. **AAPS PharmSciTech.** 2008; 9(2): 342-8.

Kibbe A.H., editor. **Handbook of Pharmaceutical Excipients.** 3<sup>rd</sup> ed. Washington: American Pharmaceutical Association; 2000.

Lavie S., Stotzky G. Adhesion of the clay minerals montmorillonite, kaolinite, and attapulgite reduces respiration of *Histoplasma capsulatum*. **Appl Environ Microbiol.** 1986; 51(1): 65-73.

Lewis S., Subramanian G., Pandey S., Udupa N. Design, evaluation and pharmacokinetic study of mucoadhesive buccal tablets of nicotine for smoking cessation. **Indian J. Pharm. Sci.** 2006; 68: 829-831.

Liew C.V., Chan L.W., Ching A.L., Heng P.W.S. Evaluation of sodium alginate as drug release modifier in matrix tablets. **Int. J. Pharm.** 2006; 309: 25-37.

Lotfipour F., Nokhodchi A., Saeedi M., Norouzi-Sani S., Sharbaf J., Siahi-Shabdar M.R. The effect of hydrophilic and lipophilic polymers and fillers on the release rate of atenolol from HPMC matrices. **II Farmaco.** 2004; 59: 819-825.

Martin A., editor. **Physical pharmacy.** 4<sup>th</sup> ed. Philadelphia: Lea & Febiger; 1993.

Maryadele J.O., editor. **The Merck Index: An Encyclopedia of Chemicals, Drugs, and Biologicals.** 14<sup>th</sup> ed. Whitehouse Station: Merck & co.; 2006.

Mihranyan A., Andersson S., Eka R. Sorption of nicotine to cellulose powders. **Eur. J. Pharm. Sci.** 2004; 22: 279-286.

Mortazavi S.A., Smart J. D. An investigation of some factors influencing the in vitro assessment of mucoadhesion **Int. J. Pharm.** 1995; 116: 223-230.

Murray H.H. Traditional and new applications for kaolin, smectite, and palygorskite: a general overview. **Appl. Clay Sci.** 2000; 17: 207-221.

Nair M.K., Chetty D.J., Ho H., Chien Y.W. Biomembrane permeation of nicotine: Mechanistic studies with porcine mucosae and skin. **J. Pharm. Sci.** 1997; 86: 257-262.

Narendra C., Srinath M.S., Rao B.P. Development of three layered buccal compact containing metoprolol tartrate by statistical optimization technique. **Int. J. Pharm.** 2005; 304: 102-114.

Nielsen H.M., Rassing M.R. Nicotine permeability across the buccal TR146 cell culture model and porcine buccal mucosa in vitro: effect of pH and concentration. **Eur. J. Pharm. Sci.** 2002; 16: 151-157.

Onoue S., Yamamoto K., Kawabata Y., Hirose M., Mizumoto T., Yamada S. Novel dry powder inhaler formulation of glucagon with addition of citric acid for enhanced pulmonary delivery. **Int. J. Pharm.** 2009; 382: 144-150.

Papin-Castéla N., Prognon P., Keller F., Bénazeth S., Farinotti R., Mahuzier G., Souleau Ch. Cerium-doped diosmectite for topical application studies of the cerium–clay interaction.

**Int. J. Pharm.** 1999; 181: 193-202

Park C.R., Munday D.L. Development and evaluation of biphasic buccal adhesive tablet for nicotine replacement therapy. **Int. J. Pharm.** 2002; 237: 215-226

Park Y.J., Yong C.S., Kim H.M., Rhee J.D., Oh Y.K., Kim C.K., Choi H.G. Effect of sodium chloride on the release, absorption and safety of diclofenac sodium delivered by poloxamer gel.

**Int. J. Pharm.** 2003; 263: 105-111

Pongjanyakul T., Khunawattanakul W., Puttipipatkhachorn S. Physicochemical characterizations and release studies of nicotine–magnesium aluminum silicate complexes. **Appl. Clay Sci.** 2009; 44: 242-250

Pongjanyakul T., Suksri H. Alginate-magnesium aluminum silicate films for buccal delivery of nicotine.

**Colloid Surf. B:Biointerfaces.** 2009; 74: 103-113

Razzak M.S., Khan F., Hossain M., Khan M.Z., Azad M.A., Reza M.S. Effect of channeling agents on the release pattern of theophylline from kollidon SR based matrix tablets.

**Pak J Pharm Sci.** 2009 ;22 :303-307.

Ren C., Fang L., Li T., Wang M., Zhao L., He Z. Effect of permeation enhancers and organic acids on the skin permeation of indapamide. **Int. J. Pharm.** 2008; 350: 43-47

Reynolds T.D., Gehrke S.H., Hussain A.S., Shenouda L.S. Polymer erosion and drug release characterization of hydroxypropyl methylcellulose matrices. **J. Pharm. Sci.** 1998; 87: 1115–1123

Rojtanatanya S., Pongjanyakul T. Propranolol–magnesium aluminum silicate complex dispersions and particles: Characterization and factors influencing drug release. **Int. J. Pharm.** 2010; 383: 106-115

Rossi S., Sandri G., Caramella C.M. Buccal drug delivery: A challenge already won? **Drug Discovery Today: Technologies** 2005; 2: 59-65

Santi P., Catellani P.L., Colombo P., Ringard-Lefebvre C., Barthelemy C., Guyot-Hermann A.M. Partition and transport of verapamil and nicotine through artificial membranes. **Int. J. Pharm.** 1991; 68: 43-49

Salamat-Miller N., Chittchang M., Johnston T.P. The use of mucoadhesive polymers in buccal drug delivery. **Adv. Drug Delivery Rev.** 2005; 57: 1666-1691

Schilling S.U., Bruce C.D., Shah N.H., Malick A.W., McGinity J.W. Citric acid monohydrate as a release-modifying agent in melt extruded matrix tablets. **Int. J. Pharm.** 2008; 361: 158-168

Shojaei A.H. Buccal mucosa as a route for systemic drug delivery: A review. **J. Pharm. Sci.** 1998; 1: 15-30.

Siepmann J., Peppas N.A. Modeling of drug release from delivery systems based on hydroxypropyl methylcellulose (HPMC). **Adv. Drug Delivery Rev.** 2001; 48: 139-157

- Siepmann J., Siepmann F. Mathematical modeling of drug delivery. **Int. J. Pharm.** 2008; 364: 328–343
- Smart J.D. The basics and underlying mechanisms of mucoadhesion. **Adv. Drug Delivery Rev.** 2005; 57: 1556-1568
- Sriamornsak P., Thirawong N., Korkerd K. Swelling, erosion and release behavior of alginate-based matrix tablets. **Eur. J. Pharm. Biopharm.** 2007; 66: 435-450
- Suksri H., Pongjanyakul T. Interaction of nicotine with magnesium aluminum silicate at different pHs: Characterization of flocculate size, zeta potential and nicotine adsorption behavior. **Colloid Surf. B:Biointerfaces** 2008; 65: 54-60
- Sudhakar Y., Kuotsu K., Bandyopadhyay A.K. Buccal bioadhesive drug delivery - A promising option for orally less efficient drugs. **J. Control. Release** 2006; 114: 15-40
- Sung K.C., Nixon P.R., Skoug J.W., Ju T.R., Gao P., Topp E. M., Patel M.V. Effect of formulation variables on drug and polymer release from HPMC-based matrix tablets. **Int. J. Pharm.** 1996; 142: 53-60
- Takka S. Propranolol hydrochloride–anionic polymer binding interaction. **II Farmaco** 2003; 58: 1051-1056
- Takka S., Rajbhandari S., Sakr A. Effect of anionic polymers on the release of propranolol hydrochloride from matrix tablets. **Eur. J. Pharm. Biopharm.** 2001; 52: 75-82
- Todo H., Okamoto H., Iida K., Danjo K. Effect of additives on insulin absorption from intratracheally administered dry powders in rats **Int. J. Pharm.** 2001; 220: 101-110
- Velasco M.V., Ford J.L., Rowe P., Rajabi-Siahboomi A.R. Influence of drug:hydroxypropylmethylcellulose ratio, drug and polymer particle size and compression force on the release of diclofenac sodium from HPMC tablets. **J. Control. Release**. 1999; 57: 75-85
- Virid A., Wittgren B., Larsson A. Investigation of critical polymer properties for polymer release and swelling of HPMC matrix tablets. **Eur. J. Pharm. Biopharm.** 2009; 36: 297-309
- Yamsani V.V., Gannu R., Kolli C., Rao M.E.B., Yamsani M.R. Development and in vitro evaluation of buccoadhesive carvedilol tablets. **Acta Pharm.** 2007; 57: 185-197
- Zorin S., Kyulenstierna F., Thulin H. In vitro test of nicotine's permeability through human skin. Risk evaluation and safety aspects. **Ann. Occup. Hyg.** 1999; 43: 405-413

## **ภาคผนวก**

ภาคผนวก ก  
กราฟมาตรฐานของสารละลายนิโคติน

## กราฟสารละลายน้ำตาลของนิโคตินในกรดไฮโดรคลอริก 2 โนมาร์ต

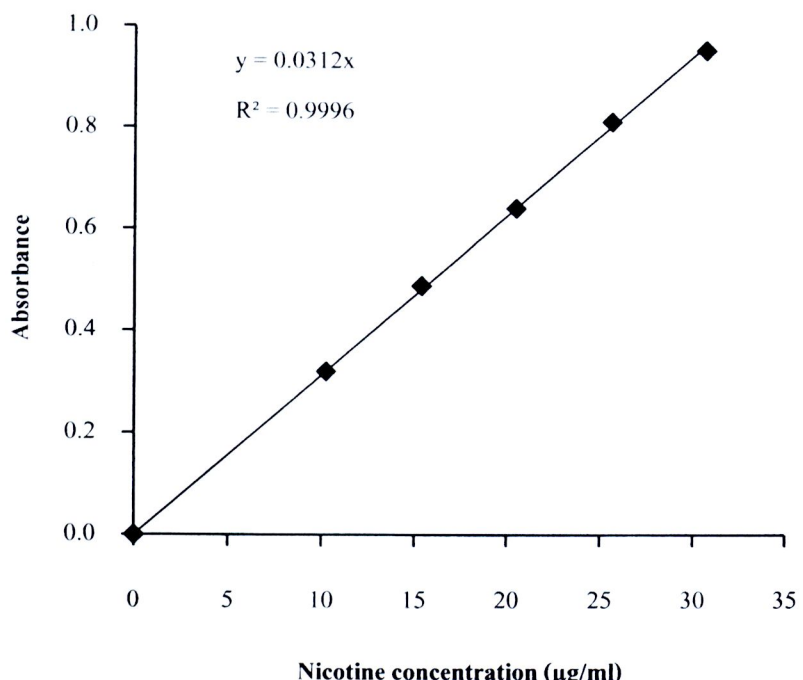
### มีขั้นตอนการเตรียมดังนี้

1. ชั้นนิโคติน 100 มิลลิกรัม ใส่ใน Volumetric flask ขนาด 100 มิลลิลิตร ปรับปริมาตรให้ครบด้วยกรดไฮโดรคลอริก 2 โนมาร์ต ผสมให้เข้ากัน ได้เป็น stock solution ที่มีความเข้มข้นของนิโคติน  $1000 \mu\text{g/ml}$
2. ใช้ autopipet ดูดสารละลายนิโคตินจาก stock solution ปริมาณต่างๆ 500 750 1000 1250 และ  $1500 \mu\text{l}$  ใส่ใน Volumetric flask ขนาด 50 มิลลิลิตร
3. ปรับปริมาตรด้วยกรดไฮโดรคลอริก 2 โนมาร์ต ผสมให้เข้ากัน ได้เป็นสารละลายนิโคตินที่มีความเข้มข้นของนิโคติน  $10 15 20 25$  และ  $30 \mu\text{g/ml}$  ตามลำดับ
4. นำไปวิเคราะห์ปริมาณนิโคติน โดยการวัดค่าการดูดกลืนแสงที่ความยาวคลื่น  $259 \text{ nm}$  ด้วยเครื่อง UV-visible spectrophotometer วัดความเข้มข้นละ 3 ครั้ง เพื่อหาค่าเฉลี่ย และสร้างกราฟมาตราฐาน

ตารางที่ 28 ค่าการดูดกลืนแสงของนิโคตินในกรดไฮโดรคลอริก 2 โนมาร์ต ที่ความยาวคลื่น  $259 \text{ nm}$

ความเข้มข้นนิโคติน ( $\mu\text{g/ml}$ )	ค่าการดูดกลืนแสง			ค่าเฉลี่ย $\pm$ ส่วนเบี่ยงเบนมาตรฐาน
	1	2	3	
10.27	0.320	0.321	0.320	$0.320 \pm 0.001$
15.41	0.488	0.488	0.488	$0.488 \pm 0.001$
20.54	0.641	0.641	0.640	$0.641 \pm 0.001$
25.68	0.810	0.811	0.810	$0.810 \pm 0.001$
30.81	0.952	0.951	0.951	$0.951 \pm 0.001$

แต่ละค่าแสดงในรูปของค่าเฉลี่ย  $\pm$  ส่วนเบี่ยงเบนมาตรฐาน จาก 3 ตัวอย่าง



ภาพที่ 34 กราฟสารละลายน้ำของนิโคติน ในกรดไฮโดรคลอริก 2 มิลลิลิตร

## กราฟสารละลายน้ำตราชานของนิโโคตินในสารละลายน้ำต่อเฟสน้ำฟีฟอเรช 6.0

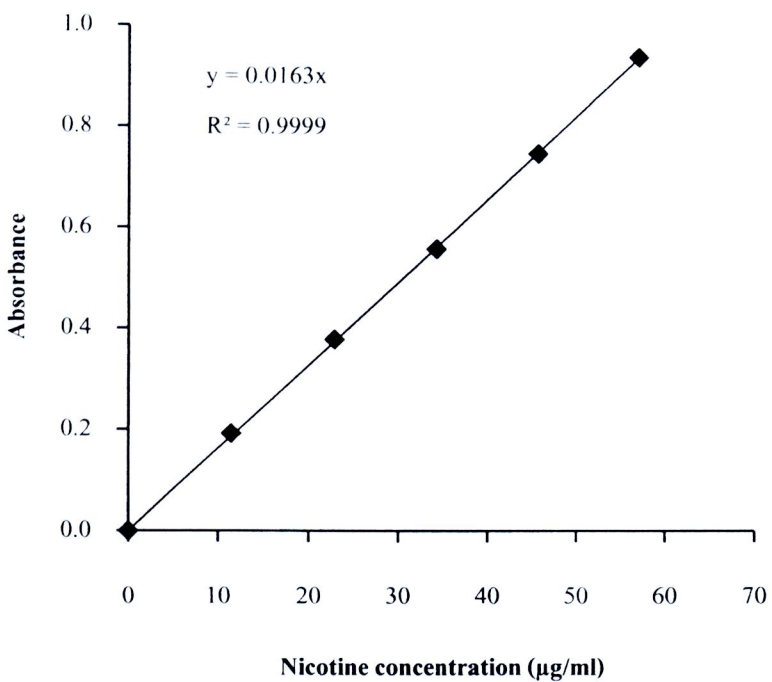
### มีขั้นตอนการเตรียมดังนี้

1. ชั่งนิโโคติน 100 มิลลิกรัม ใส่ใน Volumetric flask ขนาด 100 มิลลิลิตร ปรับปริมาตรให้ครบด้วยสารละลายน้ำต่อเฟสน้ำฟีฟอเรช 6.0 ผสมให้เข้ากัน ได้เป็น stock solution ที่มีความเข้มข้นของนิโโคติน  $1000 \mu\text{g/ml}$
2. ใช้ autopipet ดูดสารละลายนิโโคตินจาก stock solution ปริมาตร 250 500 750 1000 และ  $1250 \mu\text{l}$  ใส่ใน Volumetric flask ขนาด 25 มิลลิลิตร
3. ปรับปริมาตรด้วยสารละลายน้ำต่อเฟสน้ำฟีฟอเรช 6.0 ผสมให้เข้ากัน ได้เป็นสารละลายนิโโคตินที่มีความเข้มข้นของนิโโคติน  $10 20 30 40$  และ  $50 \mu\text{g/ml}$  ตามลำดับ
4. นำไปวิเคราะห์ปริมาณนิโโคติน โดยการวัดค่าการดูดกลืนแสงที่ความยาวคลื่น  $259 \text{ nm}$  ด้วยเครื่อง UV-visible spectrophotometer วัดความเข้มข้นละ 3 ครั้ง เพื่อหาค่าเฉลี่ย และสร้างกราฟมาตรฐาน

ตารางที่ 29 ค่าการดูดกลืนแสงของนิโโคตินในสารละลายน้ำต่อเฟสน้ำฟีฟอเรช 6.0 ที่ความยาวคลื่น  $259 \text{ nm}$

ความเข้มข้นนิโโคติน ( $\mu\text{g/ml}$ )	ค่าการดูดกลืนแสง			ค่าเฉลี่ย $\pm$ ส่วนเบี่ยงเบนมาตรฐาน
	1	2	3	
11.44	0.192	0.194	0.191	$0.192 \pm 0.002$
22.88	0.378	0.378	0.378	$0.378 \pm 0.001$
34.32	0.558	0.557	0.557	$0.557 \pm 0.001$
45.76	0.744	0.746	0.746	$0.745 \pm 0.001$
57.20	0.936	0.936	0.936	$0.936 \pm 0.001$

แต่ละค่าแสดงในรูปของค่าเฉลี่ย  $\pm$  ส่วนเบี่ยงเบนมาตรฐาน จาก 3 ตัวอย่าง



ภาพที่ 35 กราฟสารละลายน้ำดรูบ้านนิโกรดิน ในสารละลายน้ำดีฟอตเฟสบัฟเฟอร์พีเอช 6.0

## **ภาคผนวก ข**

**การวิเคราะห์ความถูกต้องของวิธีวิเคราะห์โดยโปรแกรมโตกราฟเหลวสมรรถนะสูง  
และโปรแกรมของนิโคติน**

## วิเคราะห์ความถูกต้องของวิธีวิเคราะห์โดยโคม่าโตกราฟีเหลวสมมรรถนะสูง

การวิเคราะห์หาปริมาณนิโคตินโดยวิธีโคม่าโตกราฟีเหลวสมมรรถนะสูง ต้องทำการตรวจรับรองวิธีการวิเคราะห์ (validation) เพื่อทดสอบว่าวิธีการวิเคราะห์ที่เลือกใช้มีความถูกต้องและน่าเชื่อถือ ทำได้โดยเตรียมสารละลายน้ำตรฐานนิโคติน 5 ระดับความเข้มข้น คือ 1, 10, 25, 50 และ 100 µg/ml ตัวทำละลายที่ใช้สำหรับการศึกษาการปลดปล่อยยาผ่านเมมเบรนเซลล์โลสโซซีเตต และการซึมผ่านเยื่อเมือกหลอดอาหารหมู คือ สารละลายน้ำฟอตเฟสบัฟเฟอร์พีเอช 6.0 และสารละลายน้ำฟอสเฟตบัฟเฟอร์ไอโซโทนิกพีเอช 7.4 ตามลำดับ วิเคราะห์โดยการฉีดสารละลายน้ำตรฐานความเข้มข้นละ 3 ครั้ง บันทึกค่าพื้นที่ไดกราฟของพิกจากโคม่าโตรแกรม (chromatogram) คำนวณหาค่าพื้นที่ไดกราฟเฉลี่ย ( $\bar{X}$ ) ส่วนเบี่ยงเบนมาตรฐาน (standard deviation, SD) และค่าสัมประสิทธิ์ของความแปรปรวน (coefficient of variation, CV) โดยคำนวณจากสมการที่ 4 ทดสอบความแตกต่างของค่าภายใน 1 วัน (intraday) และค่าระหว่างวัน (interday) เป็นเวลา 3 วัน (ใช้ค่าเฉลี่ยของแต่ละวันในการเปรียบเทียบ) ผลการทดสอบค้องมีค่าสัมประสิทธิ์ของความแปรปรวนน้อยกว่าหรือเท่ากับร้อยละ 2.0 จึงจะถือว่าระบบมีความน่าเชื่อถือ

$$CV = \frac{\bar{X}}{SD} \times 100 \quad \dots\dots\dots (4)$$

ผลการทดสอบพบว่า ค่าสัมประสิทธิ์ของความแปรปรวนจากการวิเคราะห์สารละลายน้ำตรฐานนิโคติน ในสารละลายน้ำฟอตเฟสบัฟเฟอร์พีเอช 6.0 และสารละลายน้ำฟอสเฟตบัฟเฟอร์ไอโซโทนิกพีเอช 7.4 จากการทดสอบค่าภายใน 1 วัน และค่าระหว่างวัน มีค่าไม่เกินร้อยละ 2.0 (ตารางที่ 30-33) แสดงว่าระบบที่ใช้ในการวิเคราะห์นิโคตินมีความน่าเชื่อถือ

ตารางที่ 30 พื้นที่ได้กราฟของสารละลายน้ำตราชานนิโโคดินในสารละลายน้ำสบู่เพอร์พีโอด 6.0

ความเข้มข้นของนิโโคดิน ( $\mu\text{g/ml}$ )		พื้นที่ได้กราฟ (mV.s)					
วันที่ 1		1	2	3	ค่าเฉลี่ย	SD	% CV
1.03		14.90	15.28	14.97	15.05	0.20	1.34
10.27		146.01	143.48	148.29	145.92	2.41	1.65
25.67		389.66	380.28	377.66	382.53	6.31	1.65
51.34		715.46	711.21	697.21	707.96	9.55	1.35
102.68		1441.50	1394.38	1394.86	1410.25	27.07	1.92
วันที่ 2		1	2	3	ค่าเฉลี่ย	SD	% CV
1.03		15.46	14.95	15.01	15.14	0.28	1.85
10.27		144.19	145.87	141.69	143.92	2.11	1.46
25.67		383.86	374.67	385.21	381.25	5.73	1.50
51.34		729.00	729.68	708.89	722.52	11.81	1.63
102.68		1439.71	1438.48	1412.50	1430.23	15.37	1.07
วันที่ 3		1	2	3	ค่าเฉลี่ย	SD	% CV
1.03		15.11	14.66	14.68	14.82	0.26	1.73
10.27		146.92	143.39	142.04	144.12	2.52	1.75
25.67		374.20	381.43	389.18	381.60	7.49	1.96
51.34		706.30	719.17	700.56	708.67	9.53	1.34
102.68		1449.35	1423.56	1424.97	1432.62	14.50	1.01

ตารางที่ 31 พื้นที่ได้กราฟของสารละลายนามาร์กูรานินโโคตินในสารละลายน้ำสเปตบัฟฟ์/orวีโอลิโนกพีเอช 7.4

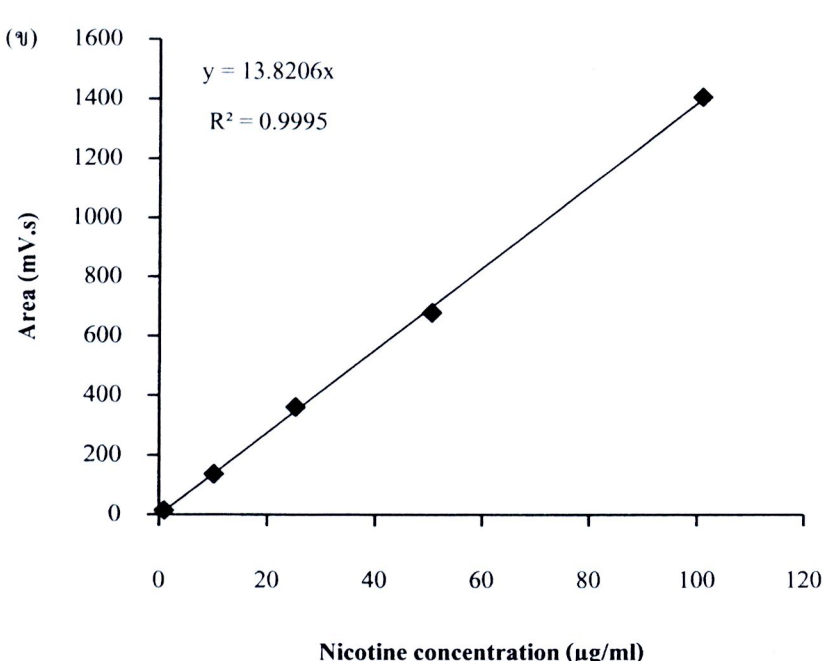
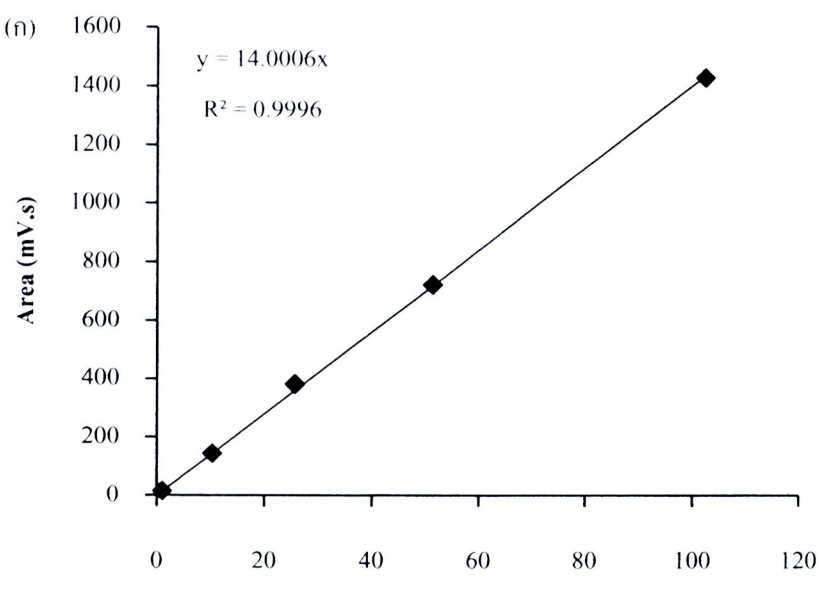
ความเข้มข้นของนิโโคติน ( $\mu\text{g/ml}$ )		พื้นที่ได้กราฟ (mV.s)					
วันที่ 1		1	2	3	ค่าเฉลี่ย	SD	% CV
1.01		14.09	13.91	14.02	14.00	0.09	0.63
10.12		129.39	132.78	129.11	130.43	2.04	1.57
25.31		358.49	355.51	360.76	358.25	2.63	0.73
50.62		649.18	642.99	658.27	650.15	7.69	1.18
101.24		1445.53	1422.79	1444.77	1437.70	12.92	0.90
วันที่ 2		1	2	3	ค่าเฉลี่ย	SD	% CV
1.01		15.04	15.32	15.19	15.18	0.14	0.91
10.12		132.32	134.79	134.61	133.90	1.38	1.03
25.31		346.72	348.94	349.88	348.51	1.62	0.47
50.62		626.35	638.13	635.56	633.35	6.20	0.98
101.24		1426.30	1413.02	1425.68	1421.67	7.50	0.53
วันที่ 3		1	2	3	ค่าเฉลี่ย	SD	% CV
1.01		15.45	15.46	15.38	15.43	0.04	0.28
10.12		137.81	137.27	136.82	137.30	0.50	0.36
25.31		368.20	361.45	354.94	361.53	6.63	1.83
50.62		667.17	652.67	664.47	661.44	7.71	1.17
101.24		1387.99	1411.47	1421.12	1406.86	17.04	1.21

ตารางที่ 32 พื้นที่ได้กราฟเฉลี่ย 3 วัน ของสารละลายน้ำตราชานนิโคตินในสารละลายน้ำฟอสเฟตบัฟเฟอร์พีเอช 6.0

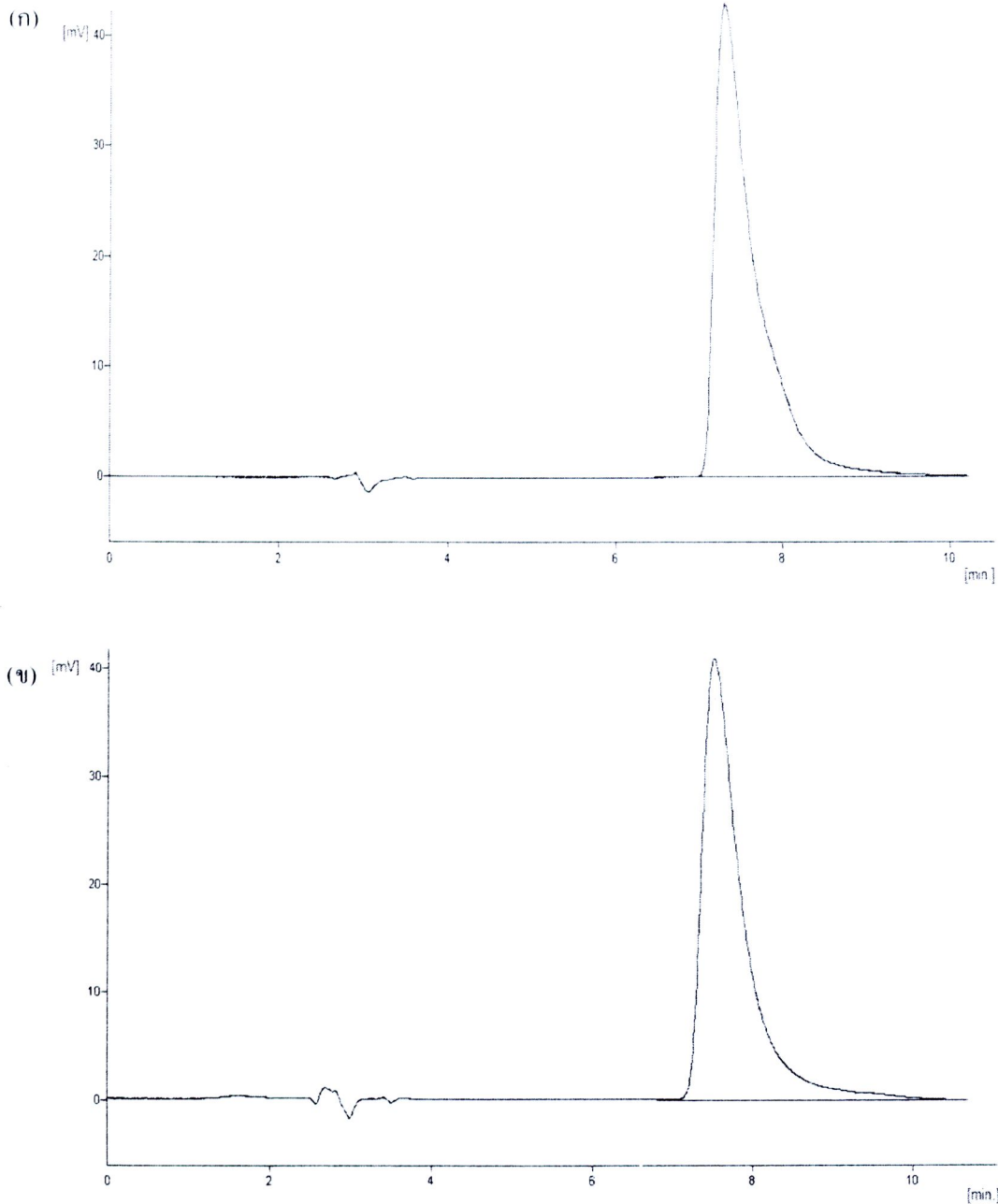
ความเข้มข้น ของนิโคติน ( $\mu\text{g/ml}$ )	ค่าเฉลี่ยพื้นที่ได้กราฟ (mV.s)					
	วันที่ 1	วันที่ 2	วันที่ 3	ค่าเฉลี่ยระหว่างวัน	SD	% CV
1.03	15.05	15.14	14.82	15.00	0.14	0.01
10.27	145.92	143.92	144.12	144.65	0.90	0.01
25.67	382.53	381.25	381.60	381.79	0.54	0.00
51.34	707.96	722.52	708.67	713.05	6.70	0.01
102.68	1410.25	1430.23	1432.62	1424.37	10.03	0.01

ตารางที่ 33 พื้นที่ได้กราฟเฉลี่ย 3 วัน ของสารละลายน้ำตราชานนิโคติน ในสารละลายน้ำฟอสเฟตบัฟเฟอร์  
ไอโซโทนิกพีเอช 7.4

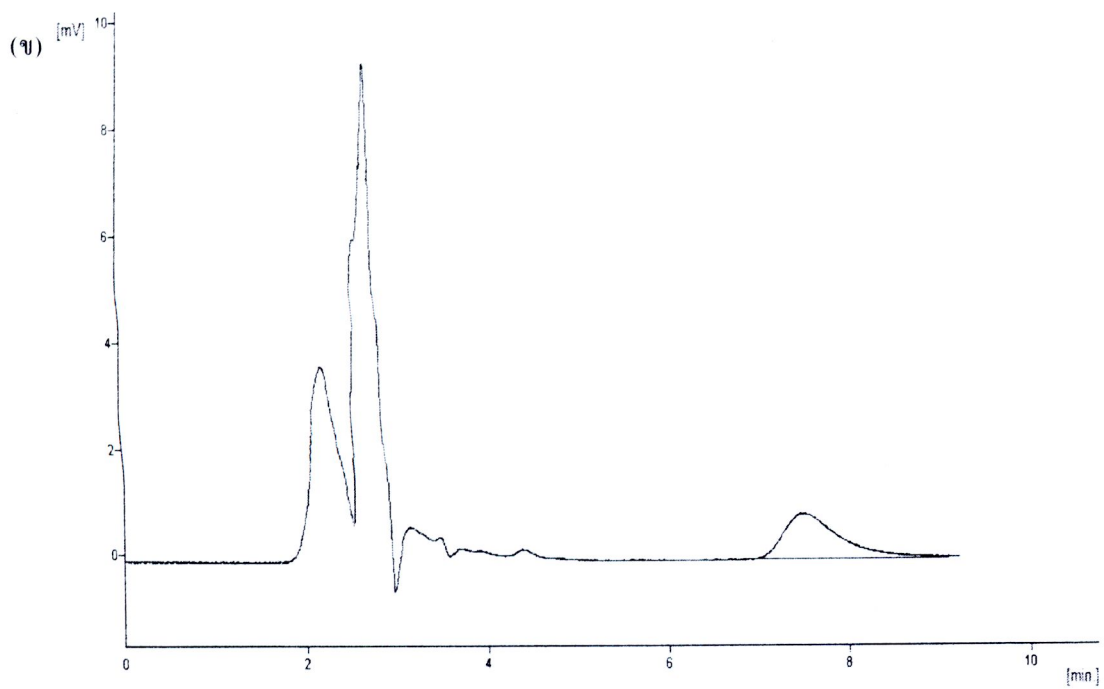
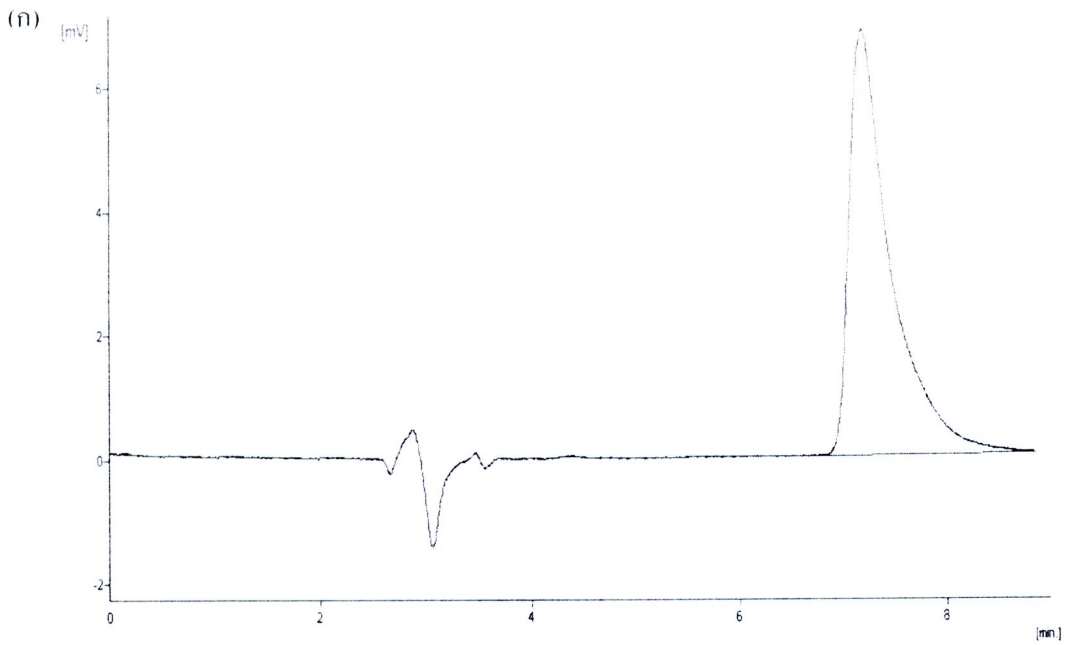
ความเข้มข้น ของนิโคติน ( $\mu\text{g/ml}$ )	ค่าเฉลี่ยพื้นที่ได้กราฟ (mV.s)					
	วันที่ 1	วันที่ 2	วันที่ 3	ค่าเฉลี่ยระหว่างวัน	SD	% CV
1.01	14.00	15.18	15.43	14.87	0.62	0.04
10.12	130.43	133.90	137.30	133.88	2.81	0.02
25.31	358.25	348.51	361.53	356.10	5.53	0.02
50.62	650.15	633.35	661.44	648.31	11.54	0.02
101.24	1437.70	1421.67	1406.86	1422.07	12.59	0.01



ภาพที่ 36 กราฟสารละลายนิโคตินในสารละลายฟอตเฟสบัฟเฟอร์พีเอช 6.0 และในสารละลายฟอสเฟดบัฟเฟอร์ “ไอโซ” โโนนิกพีเอช 7.4



ภาพที่ 37 โครมაโทแกรมของนิโคดิน จากสารละลายน้ำตราชานนิโคดินในสารละลายน้ำอตเฟสบัฟเฟอร์ pH 6.0 และสารละลายน้ำอตเฟสบัฟเฟอร์ไฮโทนิก pH 7.4



**ภาพที่ 38** โปรแกรมโตแกรมของนิโโคตินที่ปลดปล่อยผ่านเมมเบรนเซลล์โลสโซะซีເຕේຕ්‍රනาคරුพුน 0.45 ไมครอน มีปริมาณนิโโคตินที่คำนวณได้เท่ากับ  $16.73 \mu\text{g/ml}$  (ก) และที่ชึ่งผ่านเยื่อเมือกหลอดอาหารหมู มีปริมาณนิโโคตินที่คำนวณได้เท่ากับ  $3.22 \mu\text{g/ml}$  (ข)

## การเผยแพร่ผลงานวิทยานิพนธ์

### 1. การตีพิมพ์ในวารสารระดับนานาชาติ

Kanjanabat S., Pongjanyakul T. Preparation and Characterization of Nicotine-Magnesium Aluminum Silicate Complex-Loaded Sodium Alginate Matrix Tablets for Buccal Delivery. **AAPS Pharm. Sci. Technol.** 2011 (In Press)

### 2. ลิขิตรหัสการประดิษฐ์

ชเนศ พงษ์จารยาภุญ และ โสภาพรรณ กาญจนบัตร. ยาเม็ดเมทิกริซบอรูสาระปะกอนเชิงช้อนนิโคติน-เคลย์.  
เลขที่ขอรับสิทธิ์ 1001000839. วันที่ยื่นขอ 27 พฤษภาคม 2553

### 3. การเผยแพร่ในรูปแบบโปสเตอร์

Kanjanabat S., Khunawattanakul W., Pongjanyakul T. Alginate matrix tablets containing nicotine-clay complexes for mucosal delivery: Effect of preparation pH of complexes. **PSWC 2010 Congress for Students and Postdoctoral Fellows**, 13-14 Nov 2010, New Orleans.

Kanjanabat S., Khunawattanakul W., Pongjanyakul T. Alginate matrix tablets containing nicotine-clay complexes for mucosal delivery: Effect of preparation pH of complexes. **2010 FIP Pharmaceutical Sciences World Congress in Association with the AAPS Annual Meeting and Exposition**, 14-18 Nov 2010, New Orleans.

### 4. การเผยแพร่ในรูปแบบการประชุมวิชาการ

โสภาพรรณ กาญจนบัตร. ชเนศ พงษ์จารยาภุญ. (2554). การศึกษาคุณลักษณะของยาเม็ดไ媳ครอกซี โพร์พิลเมทิลเซลลูโลสบอรูสาระปะกอนเชิงช้อนนิโคติน-เคลย์ เพื่อนำส่งทางกระเพี้ยงแก้ม. การประชุมเสนอผลงานวิจัยระดับบัณฑิตศึกษาแห่งชาติครั้งที่ 21 มหาวิทยาลัยรังสิต.

## ประวัติผู้เขียน

นางสาวโสสก้าพรรณ กัญจนบัตร  
วัน เดือน ปีเกิด 28 ธันวาคม 2525  
ภูมิลำเนา บ้านเลขที่ 287-289 ถนนศรีกุญชร อ.พนัสนิคม จ.ชลบุรี 20140

### การศึกษา

สำเร็จการศึกษาระดับปริญญาตรี เภสัชศาสตรบัณฑิต คณะเภสัชศาสตร์ มหาวิทยาลัยขอนแก่น  
ปีการศึกษา 2547



